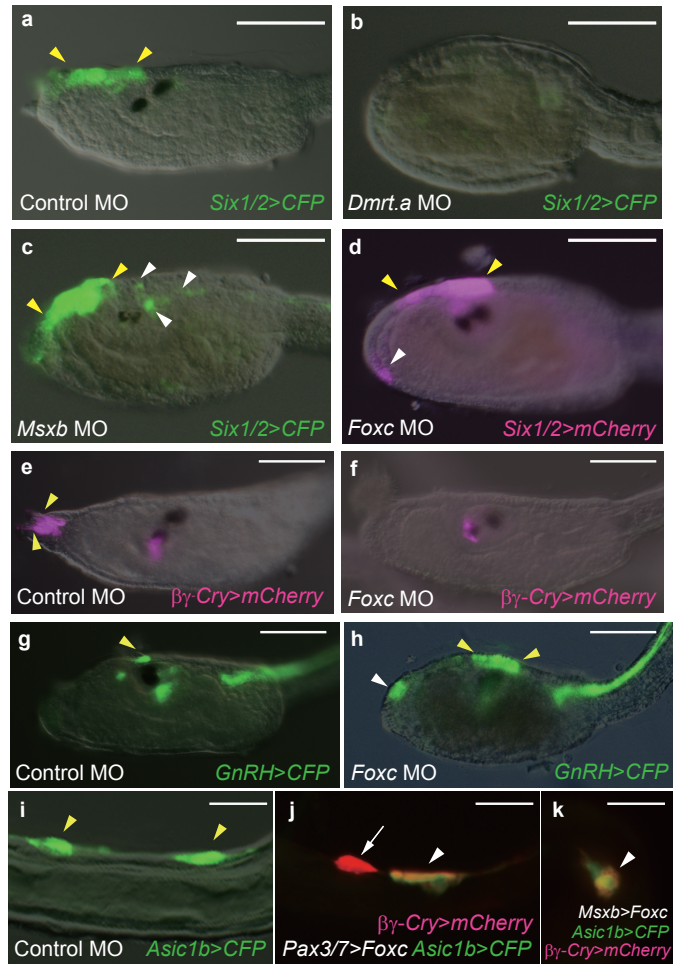
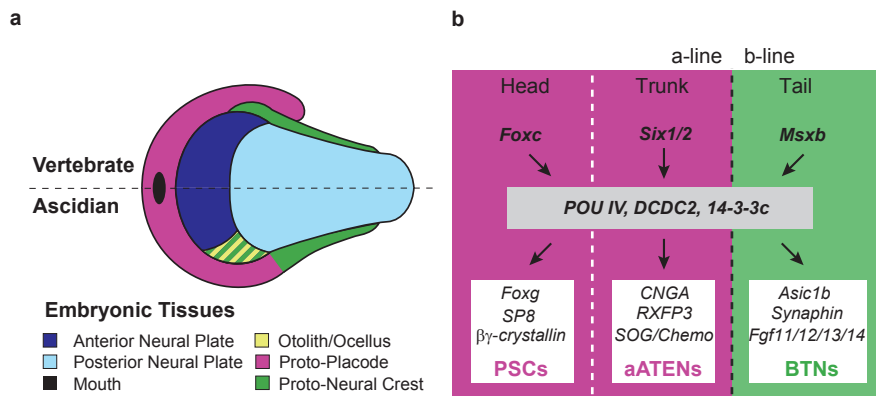
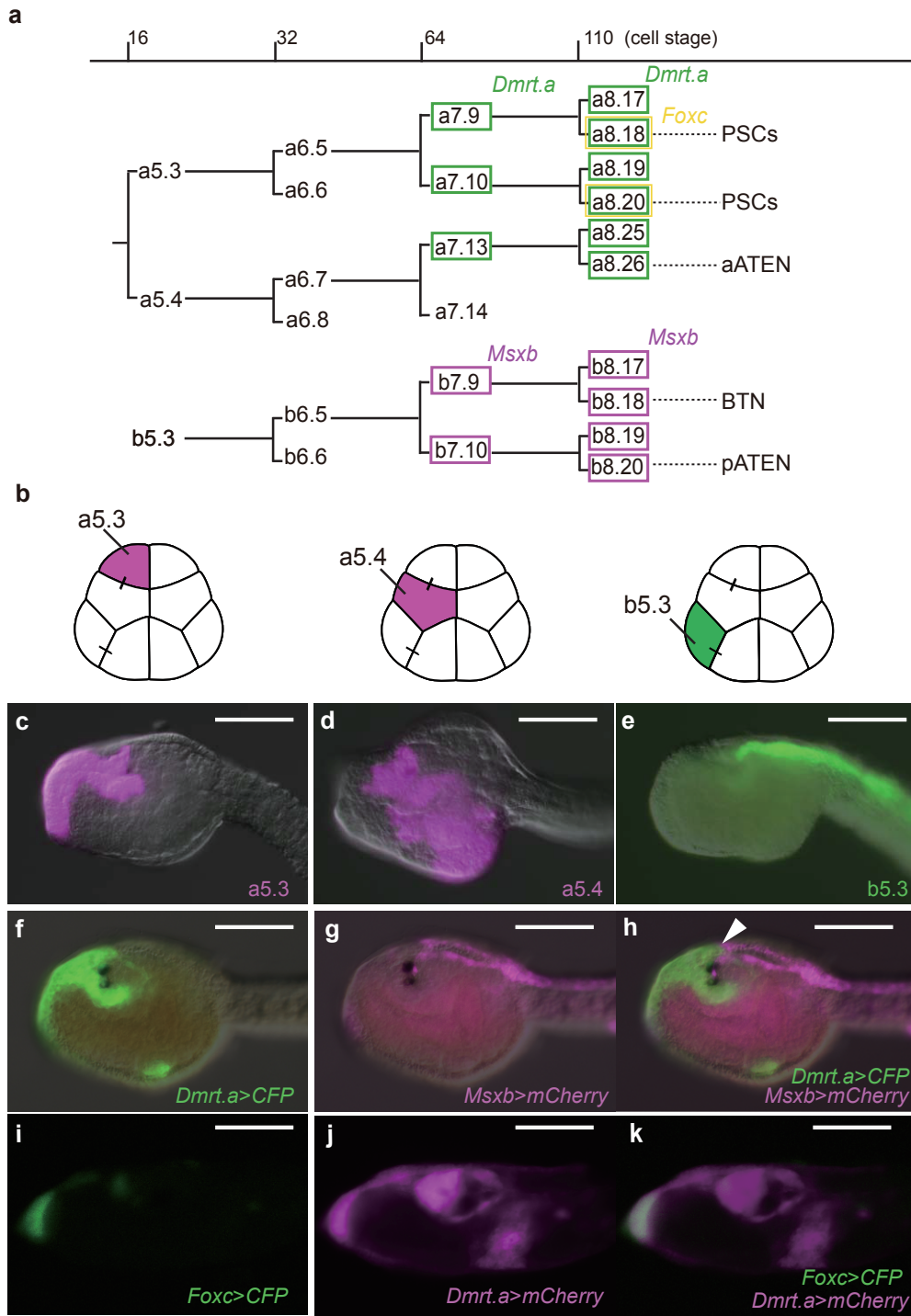
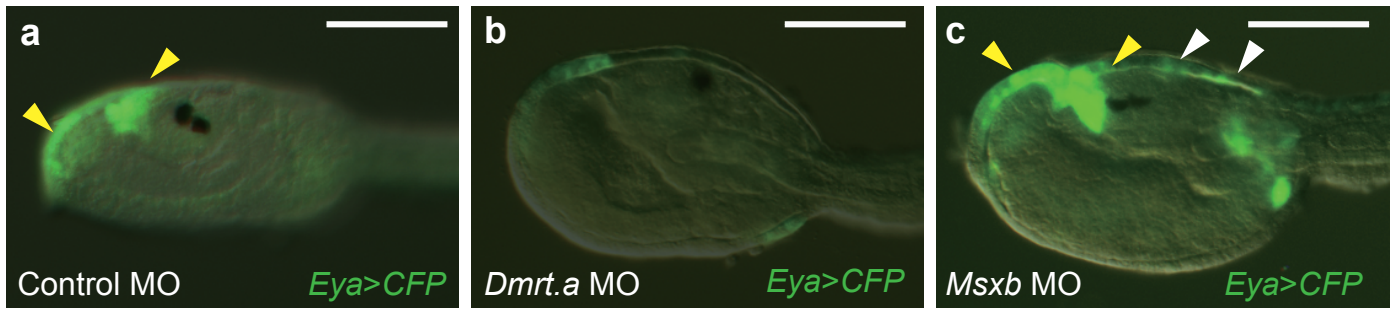


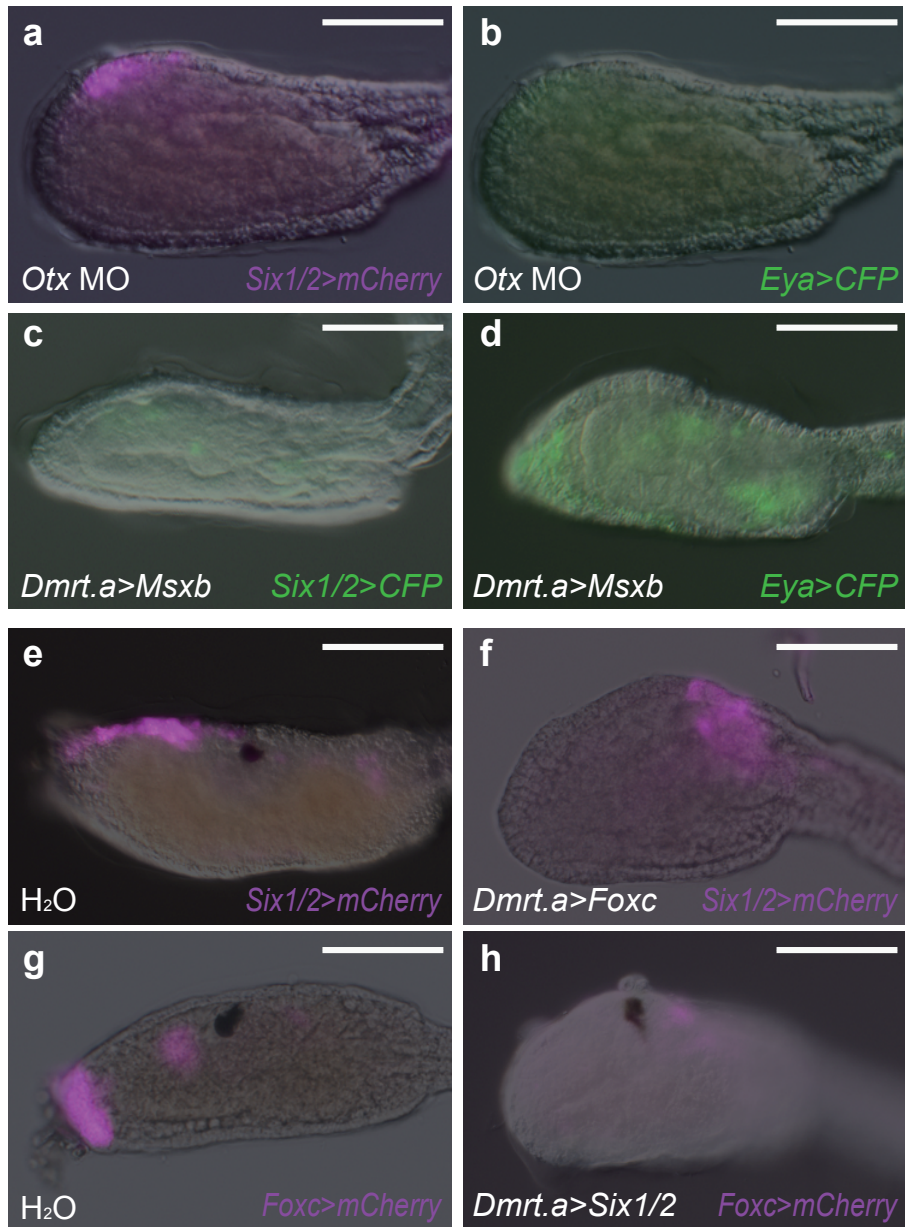
Fig. 2



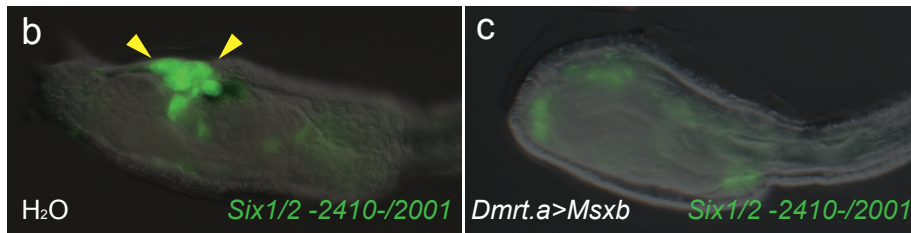
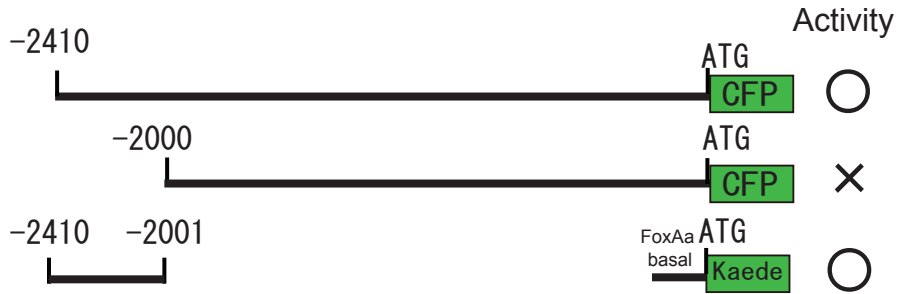






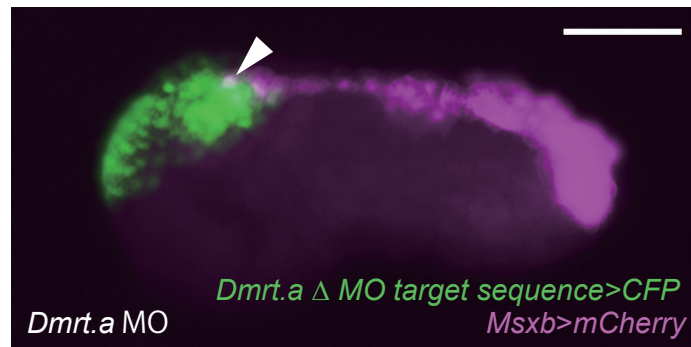


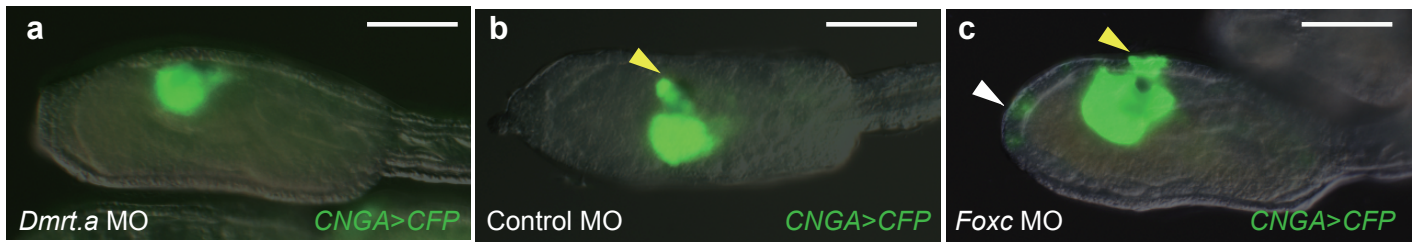
a



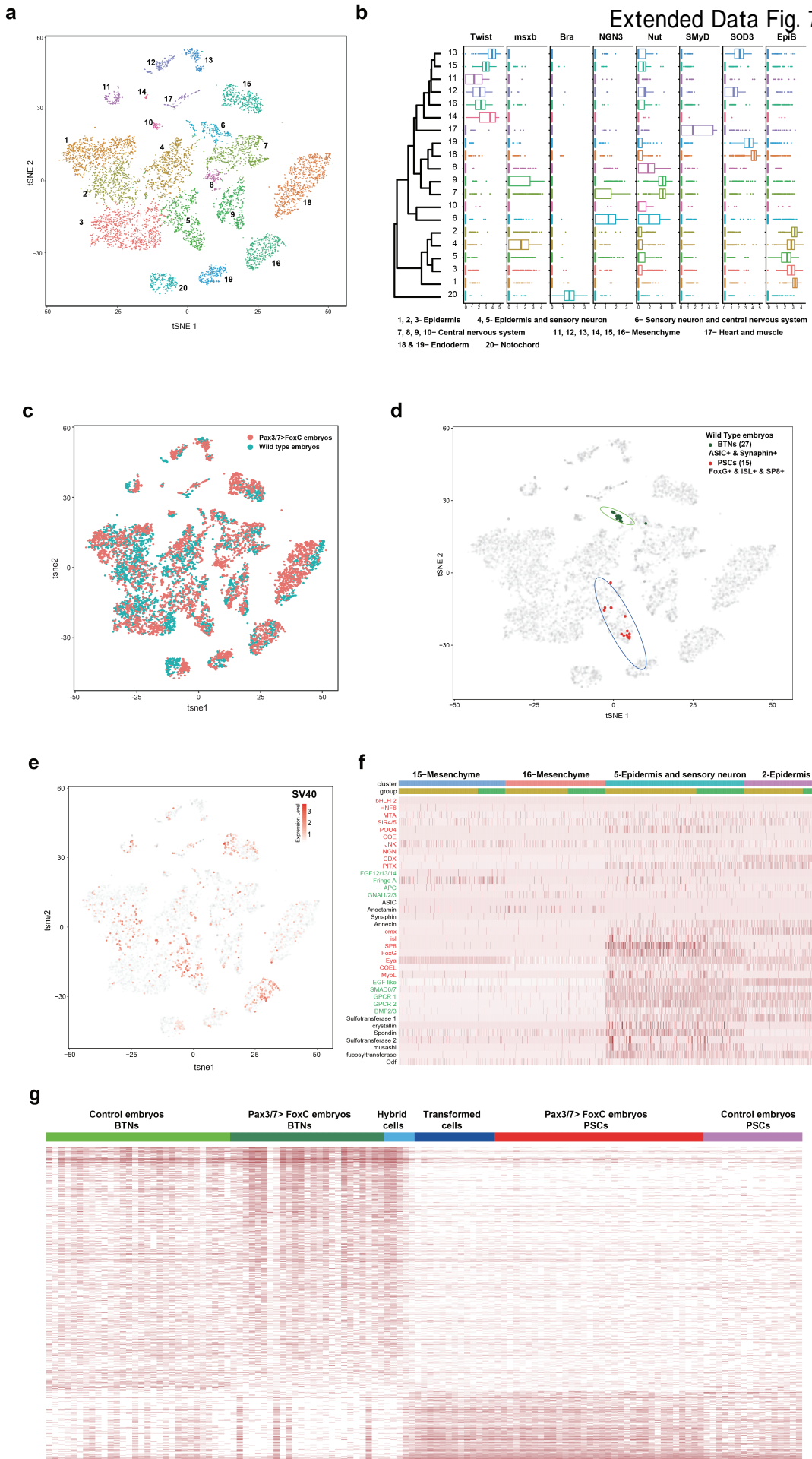
d

-2410 CGAAAACAATGGTTTATCCGAGGTAGTAGAGTAGATTTCTGAGCAACACA
 GAAAGTTTGTAACAACAATGAAAGAATATTAACGCACTGAGATTATTGT
 -2310 AATTGTAGTAATATAGCTTTCACATTTTCAAACGATCTGTCAACTGCTAA
 ACTGCCAATTAATATTAACGCATATTTGCATAGCAATTATTTACTAATTC
 -2210 CGACACGCAAGGACCGATTTCCCAACTCTGTTTGATCAAAGGGAATCGCT
 TTGCTTGTTTAATGCGATCATCAACGCTACAAATGTCAGCAATCGGATAT
 -2110 TTTAAGCTCCGTATTAAGTCACGTGCTACGAGCGTGATGAAGTGGAACGA
 GTTGTTTACTTTTAAACTCACGTGGCGTTAATTGGTCGGATTAAGTGCG
 -2010 CGTACATGTA

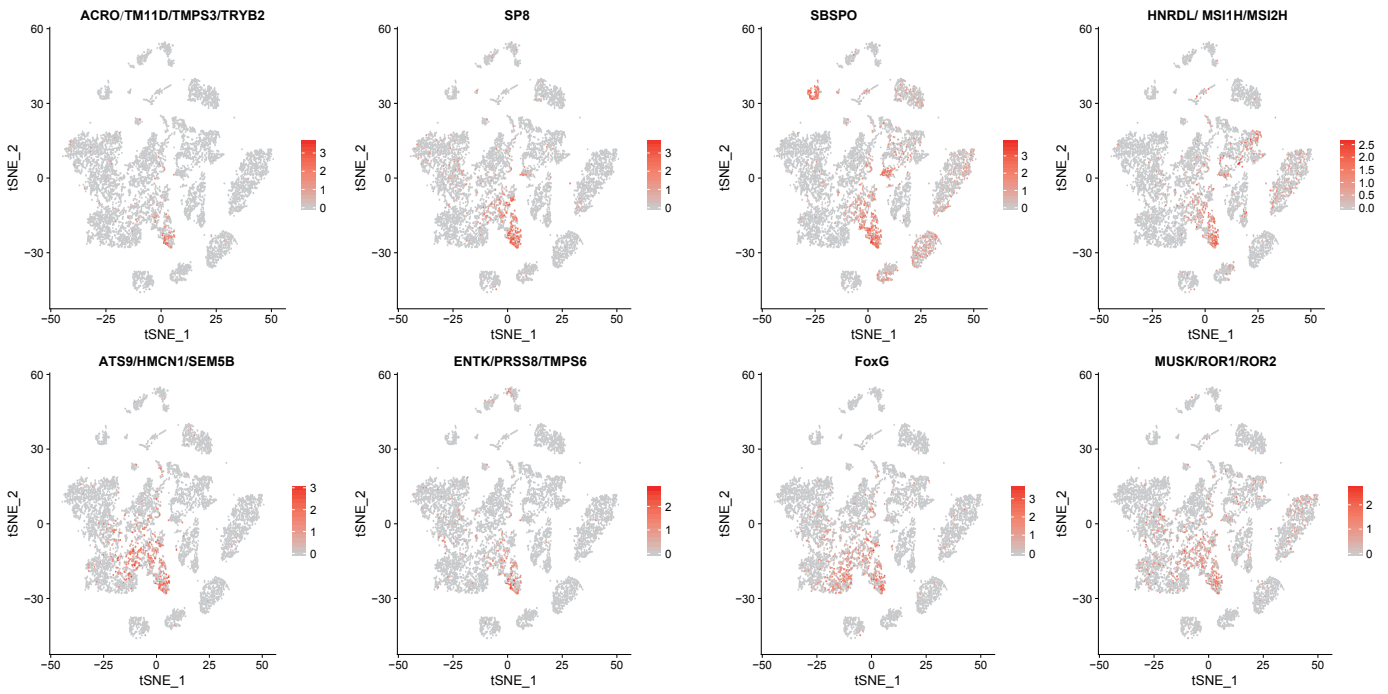




Extended Data Fig. 7



a



b

